

Bismutem bohaté tennantity z Jáchymova (Česká republika)

Bi-rich tennantites from Jáchymov (Czech Republic)

DALIBOR VELEBIL* A JIŘÍ SEJKORA

Mineralogicko-petrologické oddělení, Národní muzeum, Cirkusová 1740, 193 00 Praha 9 - Horní Počernice;

*e-mail: dalibor_velebil@nm.cz

VELEBIL D, SEJKORA J (2018) Bismutem bohaté tennantity z Jáchymova (Česká republika). Bull Mineral Petrolog 26(2): 213-222. ISSN 2570-7337

Abstract

Six samples of minerals of the tetrahedrite group from the Jáchymov ore district, Krušné hory Mountains (Czech Republic) were studied by EPMA. The significant variable contents of As, Sb and Bi in trigonal pyramidal position of the crystal structure are characteristic for the studied samples. The sample from the mine Rovnost (Geister vein) is the most interesting. Beside prevailing Bi-rich tennantite and rare Bi-rich tetrahedrite, the zones and aggregates up to 50 µm in size with a probable new Bi-dominant member of tetrahedrite group were observed. The determined Bi contents in the range 1.57 - 1.89 apfu prevails over the As (1.38 - 1.72 apfu) and Sb (0.25 - 0.77 apfu) ones. The minimum size of found aggregates and complicated intergrowths with Bi-rich tetrahedrite unfortunately do not allow to obtain the necessary structural data for full characterization of the new mineral species.

Key words: tennantite, tetrahedrite, annivite, chemical composition, Jáchymov, Czech Republic

Obdrženo 6. 10. 2018; přijato 14. 12. 2018

Úvod

V roce 2016 byl zkoumán chemismus tetraedritů z několika výskytů v České republice. V rámci tohoto výzkumu byl mimo jiné analyzován vzorek tennantitu z Jáchymova s vysokým obsahem Bi, a to průměrně 1.02 (0.72 - 1.48) apfu (Velebil et al. 2016). Takové zjištění je zajímavé z hlediska krystalochemie skupiny tetraedritu, proto bylo přistoupeno k výzkumu dalších vzorků tennantitů, respektive tetraedritů z ložiska Jáchymov, uložených ve sbírce Národního muzea v Praze (tab. 1). Výsledky studia jsou předloženy v této práci.

Bismut byl přitom v jáchymovských tennantitech zjištěn již dříve. Ondruš et al. (2003) uvádějí v souhrnné práci o primárních minerálech jáchymovského revíru sedm analýz tennantitu s obsahem Bi, přičemž ve čtyřech případech byl obsah Bi v tennantitu nižší než 1 hm. %, ostatní analýzy vykázaly obsahy 9.70, 9.78 a 10.05 hm. % Bi (0.73, 0.74 a 0.78 apfu Bi).

Bi v minerálech skupiny tetraedritu

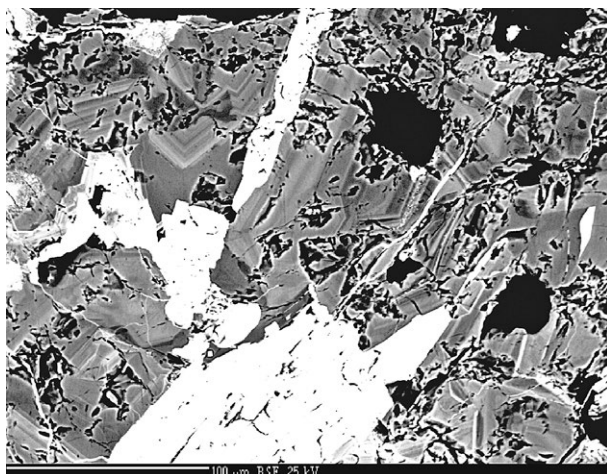
Minerály skupiny tetraedritu představují jednu z nejvíce komplexních izotypních sérií mezi sulfosolemi v přírodě, což je způsobeno četnými izo- a heterovalentními substitucemi (Makovicky 2006; Moëlo et al. 2008). Zjednodušeně může být podle Moëla et al. (2008) vyjádřen obecný vzorec minerálů skupiny tetraedritu jako $[^{[II]}A_6^{[IV]}(B,C)_6^{[III]}X_4^{[IV]}Y_{12}^{[VI]}Z_1]$, kde A je Cu nebo Ag v trigonální koordinaci; B je Cu^{2+} nebo Ag v tetraedrické koordinaci, C je obecně dvojmocný kov (typicky Fe nebo Zn, ale také Hg, Mn, Cd, Cu^{2+} etc.) ve stejně koordinaci jako B; X je Sb, As, Bi nebo Te v trigonálně pyramidální koordinaci; Y je S nebo Se v tetraedrické koordinaci a Z je S nebo Se ve specifické oktaedrické koordinaci. Výsledky studia krytalové struktury potvrdily také přítomnost vakancí nebo intersticiálních atomů (např. Cu) nebo komplikované heterovalentní substituce vyvolané vstupem Fe^{3+} nebo Te^{4+} (Moëlo et al. 2008).

Tabulka 1 Přehled studovaných vzorků minerálů skupiny tetraedritu z Jáchymova

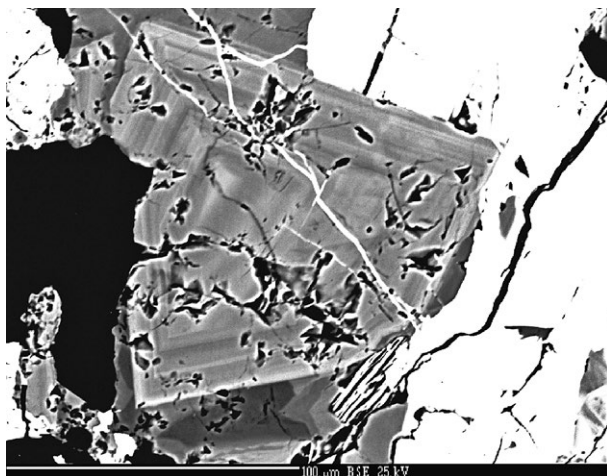
č. vzorku	inv. č. NM	lokalita	popis makrovzorku
D31 a D103 P1N 38896		Jáchymov - důl Rovnost (Eliáš); 7. Dušní patro, žila Geister	masivní agregát velikosti 7 × 6 cm; tvořený minerály skupiny tetraedritu, emplektitem, bismitem, bismutinitem a chalkozíinem
D105	P1N 26557	Jáchymov	lesklé krystaly o velikosti do 6 mm v dutinách kalcitu s chalkopyritem
D106	P1N 4854	Jáchymov	zrnité až celistvé agregáty v dolomitu
D107	P1N 86945	Jáchymov - důl Bratrství	1 mm mocná žilka v dolomitu
D108	P1N 69226	Jáchymov	až 4 mm krystaly izolovaně narostlé na dolomitu
D109	P1N 69287	Jáchymov	zrnité agregáty s křemenem



Obr. 1 Tenantit z Jáchymova, komplexní agregát tvořený směsí Bi-tenantitu (převládá), emplektitu, bismutu, bismutu, chalkozínu a dalších minerálů (Národní muzeum P1N38896, analyzované vzorky D31 a D103) velikost ukázky 7 × 6 cm. Foto D. Velebil.



Obr. 2 Výrazně zonálně Bi-bohatý tenantit (analýzy provedeny v zónách různého stupně šedi) srůstající s bílým bismitem, Jáchymov, nábrus D103; BSE foto Z. Dolníček.



Obr. 3 Výrazně oscilačně zonální krystal Bi-bohatý tenantitu (analýzy provedeny v zónách různého stupně šedi) srůstající s bílým emplektitem, Jáchymov, nábrus D103; BSE foto J. Sejkora.

Obsahy Bi jsou v minerálech skupiny tetraedritu známy již dlouhou dobu, minerál „annavit“ (Fellenberg 1854) popsaný z typové lokality Einfish nebo Anniviers valley z kantonu Wallis ve Švýcarsku s obsahem jen 0.42 apfu Bi je však jen Bi-bohatou varietou tennantitu a nikoliv platným druhem (Moëlo et al. 2008). V převážné většině Bi-bohatých členů skupiny tetraedritu však Bi není převládajícím prvkem v trigonálně pyramidální pozici; výskyty Bi-bohatých tetraedritů jsou uváděny z pegmatitu Mangualde (0.96 apfu Bi) v Portugalsku (Oen, Kieft 1976), z ložiska Tyrnyauz (1.32 apfu) v Rusku (Vinogradova et al. 1985) a z hydrotermální mineralizace v kontaktu dolomitových mramorů na lokalitě Rędziny (1.38 apfu) v Polsku (Gołębiowska et al. 2012). Breskovska, Tarkian (1994), kteří studovali složení minerálů skupiny tetraedritu z řady lokalit, uvádějí maximální zjištěný obsah Bi v tetraedritu 1.69 apfu. Bi-bohaté tennantity jsou hojnější než tetraedrity; popisovány jsou například výskyty v pegmatitu Mangualde (1.56 apfu Bi) v Portugalsku (Oen, Kieft 1976), z ložiska Jubilejnoe-Šegirichinskoe (1.36 apfu) v Rusku (Sergeyeva, Shatagin 1980), ložiska Tyrnyauz (1.11 apfu) v Rusku (Vinogradova et al. 1985), Sn-W ložiska Altenberg (1.36 apfu) v Německu (Förster et al. 1986) a Cínovec (1.48 apfu) v ČR (Jansa, Novák 1990), z hydrotermálních žil v granitech v oblasti Schwarzwaldu (1.83 apfu) v Německu (Stauder et al. 2010), lokalita Rędziny (1.51 apfu) v Polsku (Gołębiowska et al. 2012) a jáchymovského rudního revíru (1.48 apfu) v České republice (Velebil et al. 2016). Breskovska, Tarkian (1994) pak uvádějí maximální zjištěný obsah 1.57 apfu Bi.

Výskyty minerálů skupiny tetraedritu, ve kterých je Bi převládajícím prvkem v trigonálně pyramidální pozici, jsou dosud uváděny pouze ze čtyř lokalit - Pb-Zn rud na lokalitě Vindfall (2.64 apfu Bi) ve Švédsku (Kieft, Eriksson 1984), ložiska Tary-Ekan (1.63 apfu) v centrální Asii (Bortnikov et al. 1986), ložiska Tyrnyauz (1.60 apfu) v Rusku (Spiridonov et al. 1986) a lokalita Rędziny (2.65 apfu) v Polsku (Gołębiowska et al. 2012). Pro žádný z těchto známých výskytů Bi-dominantního člena skupiny tetraedritu se však nepodařilo získat strukturní data a tak tento člen dosud nemohl být popsán jako platný minerální druh (Gołębiowska et al. 2012). Pokusy syntetizovat Bi-dominantní analog tetraedritu a tennantitu nebyly dosud úspěšné; Klünder et al. (2003) uvádějí obsahy Bi v synteticky připravených tetraedritech a tennantitech do 0.8 apfu při 350 °C a do 1 apfu při 450 a 520 °C.

Metodika výzkumu

Nábrusy studovaných vzorků byly pro výzkum v odraženém světle a následné chemické analýzy připraveny standardním leštěním pomocí diamantové suspenze. Optické vlastnosti v odraženém světle byly studovány pomocí mikroskopu Nikon Eclipse ME600 s digitální kamerou Nikon DXM1200F.

Chemické složení tetraedritů bylo kvantitativně studováno pomocí elektronového mikroanalyzátoru Cameca SX100 (Národní muzeum, Praha, analytik Zdeněk Dolníček, Jiří Sejkora) za podmínek: vlnově disperzní analýza, napětí 25 kV, proud 20 nA, průměr svazku 2 µm, standardy a použité vlnové délky: CuFeS₂ (SKa, CuKa), Ag (AgLa), Bi₂Se₃ (BiMβ), CdTe (CdLa), Co (CoKa), FeS₂ (FeKa), HgTe (HgLa), NiAs (AsLβ), Ni (NiKa), PbS (PbMα), PbSe (SeLβ), Sb₂S₃ (SbLa), ZnS (ZnKa), Mn (MnKa), Au (AuMα), InAs (InLα), PbTe (TeLa), Sn (SnLa), NaCl (ClKa), Ge (GeLa) a GaAs (GaLa). V tabulkách chemických analýz nejsou uvedeny prvky, které byly rovněž

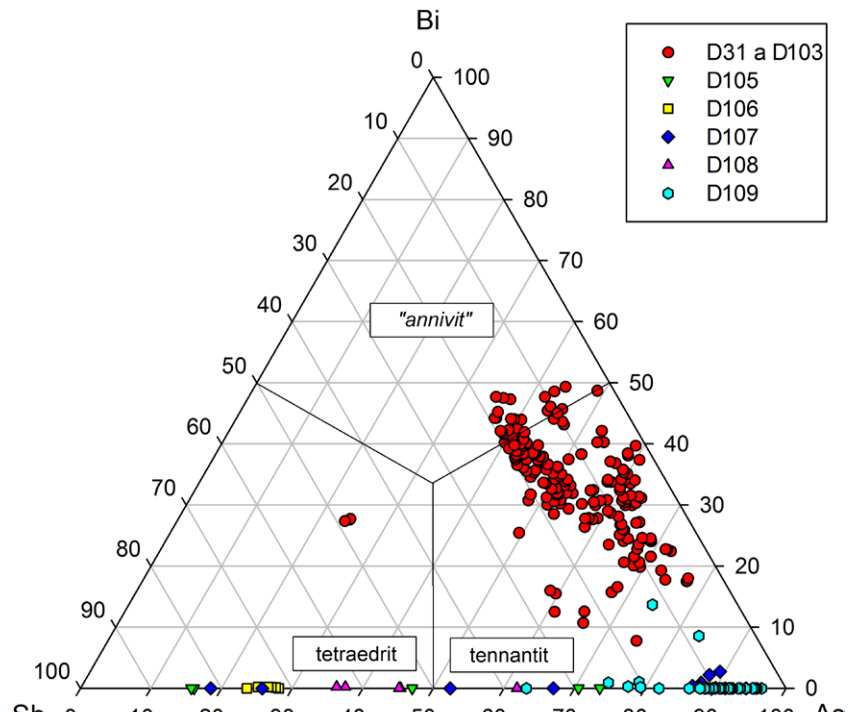
zjištovány, ale jejich obsahy byly ve všech vzorcích pod detekčním limitem (cca 0.01 - 0.05 hm. %). Získaná data byla korigována za použití software PAP (Pouchou, Pichoir 1985). Celkem bylo provedeno více než 240 bodových analýz v sedmi nábrusech pocházejících ze šesti vzorků. Empirické vzorce byly přeypočteny na sumu kationtů rovnou 16 apfu.

Výsledky

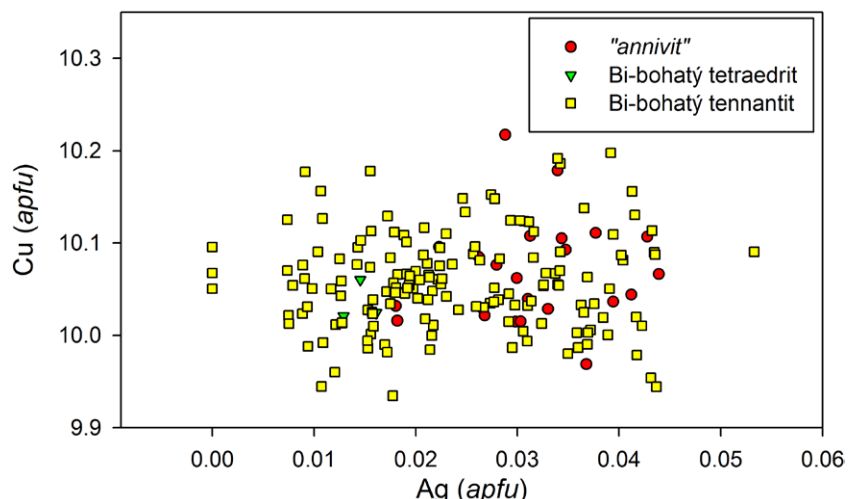
Bi-bohaté členy skupiny tetraedritu

Nábrusy **D31** a **D103** byly připraveny z úlomků odebraných z různých míst vzorku (obr. 1) s evidenčním číslem P1N 38896 (tab. 1). Vzorek **D31** je představován 2 mm velkým úlomkem komplexní rudniny tvořené nepravidelnými agregáty výrazně oscilačně zonálních minerálů skupiny tetraedritu srůstajícími se zrny bismutu s relikty ryžového bismutu a izometrickými agregáty emplektitu o velikosti do 0.7 mm. Vzorek je částečně alterován za vzniku supergenních minerálních fází s obsahem As, Bi, Pb a U. Charakter druhého odebraného vzorku (nábrus **D103**) je analogický - výrazně oscilačně zonální agregáty minerálů skupiny tetraedritu (obr. 2 a 3) srůstají s bismitem (s relikty ryžového Bi) a emplektitem.

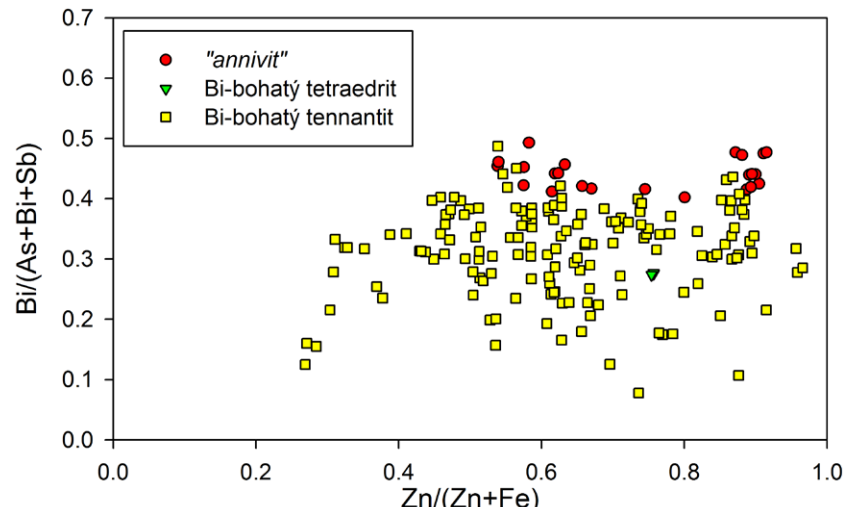
Charakter agregátů minerálů skupiny tetraedritu i jejich chemické složení zjištěné v nábrusech D31 a D103 jsou prakticky identické. Pro oba dva vzorky je charakteristickým rysem výrazně rozvinutá izomorfie v trigonálně pyramidální pozici X obecného vzorce (obr. 4). Nejhojnější zjištěnou minerální fází je **Bi-bohatý tennantit**, který tvoří více než 95 % objemu studovaných zonálních agregátů. Obsahy Bi v pozici X se pohybují v rozmezí 0.31 - 1.89 apfu, dominantním prvkem je zde však As s obsahy 1.62 - 3.08 apfu doprovázený Sb (0.06 - 1.06 apfu). V trigonální A pozici vysoko převládá Cu, nalezené obsahy Ag nepřevyšují 0.05 apfu (obr. 5). Podle zjištěného obsazení tetraedrické C pozice vzorce je zřejmé (obr. 6), že zde vystupují jak hojnější Zn-dominantní členy, tak i méně zastoupené Fe-dominantní fáze; v této pozici byly dále zjištěny i nepravidelné obsahy Pb (do 0.14 apfu) a jediné minoritní zastoupení Cd a In (do 0.01 apfu).



Obr. 4 Ternární graf Sb, As a Bi (apfu) v trigonálně pyramidální pozici X studovaných členů skupiny tetraedritu z Jáchymova.



Obr. 5 Graf obsahů Ag a Cu (apfu) v minerálech skupiny tetraedritu z nábrusů D31 a D103.



Obr. 6 Graf obsahů poměru Zn/(Zn+Fe) vs. Bi/(As+Bi+Sb)(apfu) v minerálech skupiny tetraedritu z nábrusů D31 a D103.

Tabulka 2 Reprezentativní chemické analýzy Bi-bohatého tennantitu z Jáchymova (nábrus D31, Národní muzeum P1N38896) v hm. % a příslušné hodnoty apfu

	1	2	3	4	5	6	7	8	9	10	11	12	13	14
Ag	0.28	0.00	0.10	0.14	0.27	0.24	0.21	0.25	0.15	0.17	0.16	0.33	0.21	0.23
Fe	3.13	2.37	1.21	0.88	3.94	3.03	2.63	3.22	0.75	1.62	3.35	2.77	2.80	2.91
Pb	0.36	0.00	0.11	0.23	0.29	0.38	0.42	0.00	0.06	0.00	0.11	0.00	0.00	0.00
In	0.00	0.00	0.00	0.00	0.08	0.00	0.00	0.05	0.00	0.00	0.00	0.00	0.00	0.06
Zn	4.23	5.30	6.42	6.69	2.92	3.77	4.23	3.65	6.51	5.41	3.72	4.00	3.94	3.98
Cu	39.43	40.08	38.65	38.30	38.77	36.86	36.93	37.77	36.59	36.31	38.39	36.82	36.48	37.58
Sb	5.12	1.49	2.92	3.46	1.25	5.06	4.53	4.62	5.33	5.38	0.41	4.42	2.95	0.65
Bi	8.17	9.38	13.04	14.81	16.62	16.98	17.57	17.95	18.19	18.42	19.14	19.73	20.63	23.03
As	12.60	14.44	11.58	10.28	10.78	8.05	7.90	7.96	7.30	6.93	10.18	7.10	7.56	8.30
S	26.46	26.22	25.65	25.37	26.83	24.71	24.61	25.49	24.36	23.90	26.36	25.00	24.38	25.61
total	99.78	99.28	99.68	100.16	101.75	99.08	99.03	100.96	99.24	98.14	101.82	100.17	98.95	102.35
Ag	0.042	0.000	0.015	0.022	0.042	0.038	0.034	0.039	0.024	0.028	0.025	0.053	0.034	0.037
Cu ^A	5.958	6.000	5.985	5.978	5.958	5.962	5.966	5.961	5.976	5.972	5.975	5.947	5.966	5.963
A-site	6.000	6.000	6.000	6.000	6.000	6.000	6.000	6.000	6.000	6.000	6.000	6.000	6.000	6.000
Cu ^B	4.000	4.000	4.000	4.000	4.000	4.000	4.000	4.000	4.000	4.000	4.000	4.000	4.000	4.000
Fe	0.901	0.676	0.357	0.263	1.171	0.937	0.816	0.981	0.234	0.510	1.006	0.864	0.881	0.893
Pb	0.028	0.000	0.009	0.019	0.023	0.032	0.035	0.000	0.005	0.000	0.009	0.000	0.000	0.000
In	0.000	0.000	0.000	0.000	0.012	0.000	0.000	0.007	0.000	0.000	0.000	0.000	0.000	0.009
Zn	1.041	1.292	1.619	1.706	0.742	0.996	1.121	0.950	1.734	1.456	0.955	1.066	1.059	1.044
Cu ^C	0.020	0.050	0.043	0.070	0.172	0.058	0.101	0.149	0.052	0.079	0.158	0.144	0.125	0.174
C-site	1.990	2.019	2.028	2.057	2.120	2.023	2.073	2.087	2.025	2.045	2.128	2.073	2.065	2.120
Sb	0.676	0.195	0.395	0.474	0.170	0.718	0.645	0.645	0.762	0.777	0.056	0.632	0.426	0.092
Bi	0.629	0.715	1.029	1.181	1.321	1.403	1.456	1.461	1.516	1.550	1.536	1.644	1.735	1.889
As	2.705	3.071	2.548	2.288	2.389	1.856	1.827	1.807	1.697	1.627	2.279	1.650	1.774	1.899
X-site	4.010	3.981	3.972	3.943	3.880	3.977	3.927	3.913	3.975	3.955	3.872	3.927	3.935	3.880
S	13.271	13.030	13.188	13.191	13.894	13.311	13.295	13.521	13.231	13.112	13.790	13.578	13.365	13.692

Koefficienty empirických vzorců počítány na bázi 16 kationtů; obsah Cu rozpočten do strukturních pozic (Cu^A, Cu^B, Cu^C) za předpokladu ideálního obsazení A pozice 6 apfu a B pozice 4 apfu.

Tabulka 3 Reprezentativní chemické analýzy Bi-bohatého tennantitu a Bi-bohatého tetraedritu z Jáchymova (nábrus D103, Národní muzeum P1N38896) v hm. % a příslušné hodnoty apfu

	Bi-bohatý tetraedrit			Bi-bohatý tennantit										
	mean	1	2	3	1	2	3	4	5	6	7	8	9	10
Ag	0.09	0.08	0.09	0.10	0.09	0.06	0.05	0.12	0.06	0.10	0.10	0.07	0.10	0.27
Fe	1.54	1.54	1.52	1.56	1.91	4.92	4.96	2.22	0.22	4.07	0.28	4.32	4.23	1.58
Pb	0.00	0.00	0.00	0.00	0.00	0.12	0.07	0.29	0.06	1.02	0.23	0.69	0.53	1.65
Cd	0.00	0.00	0.00	0.00	0.00	0.00	0.00	0.00	0.00	0.00	0.08	0.00	0.00	0.00
In	0.00	0.00	0.00	0.00	0.00	0.00	0.05	0.00	0.00	0.05	0.00	0.00	0.00	0.00
Zn	5.59	5.62	5.55	5.60	6.24	2.12	2.16	5.15	7.30	2.59	7.19	2.43	2.42	5.46
Cu	36.65	36.61	36.70	36.65	42.05	40.11	40.21	39.06	37.50	38.14	37.45	38.55	38.60	36.70
Sb	13.45	13.42	13.29	13.63	5.48	8.05	7.71	1.67	5.42	5.71	4.62	4.06	4.63	2.27
Bi	13.18	13.23	13.21	13.11	4.22	6.51	8.34	11.47	14.23	15.27	15.41	15.55	15.41	16.30
As	4.15	4.19	4.17	4.09	14.62	11.40	10.96	12.94	9.45	8.29	9.03	9.41	8.95	9.88
S	24.05	24.03	24.15	23.96	28.13	27.00	27.06	26.19	24.69	25.40	24.86	25.67	25.70	24.95
total	98.70	98.72	98.68	98.70	102.74	100.29	101.57	99.11	98.93	100.64	99.25	100.75	100.57	99.06
Ag	0.015	0.013	0.015	0.016	0.013	0.009	0.007	0.018	0.009	0.016	0.016	0.011	0.016	0.043
Cu ^A	5.985	5.987	5.985	5.984	5.987	5.991	5.993	5.982	5.991	5.984	5.984	5.989	5.984	5.957
A-site	6.000	6.000	6.000	6.000	6.000	6.000	6.000	6.000	6.000	6.000	6.000	6.000	6.000	6.000
Cu ^B	4.000	4.000	4.000	4.000	4.000	4.000	4.000	4.000	4.000	4.000	4.000	4.000	4.000	4.000
Fe	0.480	0.480	0.474	0.486	0.520	1.406	1.413	0.651	0.067	1.228	0.085	1.291	1.269	0.488
Pb	0.000	0.000	0.000	0.000	0.000	0.009	0.005	0.023	0.005	0.083	0.019	0.056	0.043	0.137
Cd	0.000	0.000	0.000	0.000	0.000	0.000	0.000	0.000	0.000	0.000	0.012	0.000	0.000	0.000
In	0.000	0.000	0.000	0.000	0.000	0.000	0.007	0.000	0.000	0.007	0.000	0.000	0.000	0.000
Zn	1.488	1.495	1.479	1.489	1.451	0.518	0.526	1.290	1.890	0.668	1.874	0.621	0.620	1.440
Cu ^C	0.050	0.034	0.075	0.041	0.072	0.085	0.077	0.084	0.000	0.128	0.055	0.137	0.193	0.000
C-site	2.017	2.009	2.028	2.015	2.043	2.018	2.029	2.048	1.957	2.114	2.045	2.105	2.126	2.059
Sb	1.922	1.917	1.901	1.946	0.684	1.055	1.008	0.225	0.753	0.790	0.646	0.557	0.637	0.321
Bi	1.098	1.101	1.101	1.090	0.307	0.497	0.635	0.899	1.152	1.231	1.256	1.242	1.236	1.344
As	0.964	0.973	0.970	0.949	2.966	2.429	2.328	2.828	2.135	1.864	2.053	2.097	2.002	2.273
X-site	3.983	3.991	3.972	3.985	3.957	3.982	3.971	3.952	4.041	3.886	3.955	3.895	3.874	3.938
S	13.048	13.036	13.120	12.988	13.336	13.442	13.431	13.376	13.033	13.347	13.207	13.364	13.430	13.411

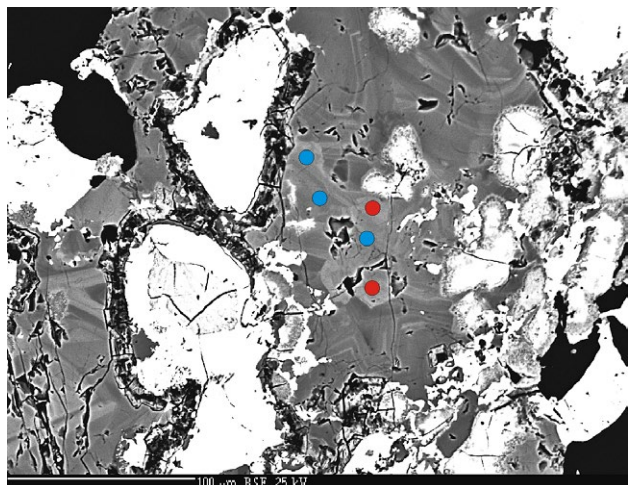
Koefficienty empirických vzorců počítány na bázi 16 kationtů; obsah Cu rozpočten do strukturních pozic (Cu^A, Cu^B, Cu^C) za předpokladu ideálního obsazení A pozice 6 apfu a B pozice 4 apfu.

Obsahy Pb a Cd v této pozici minerálů skupiny tetraedritu jsou neobvyklé; popsány ale již byly i vzácné Pb- (Mariana, Řecko - Vavelidis, Melfos 1997) a Cd-dominantní členy (Tyndrum, Skotsko - Pattrick 1978; Evia Island, Řecko - Voudouris et al. 2011). Reprezentativní chemické analýzy a vypočtené koeficienty empirického vzorce Bi-bohatého tennantitu z Jáchymova jsou uvedeny v tabulce 2 a 3.

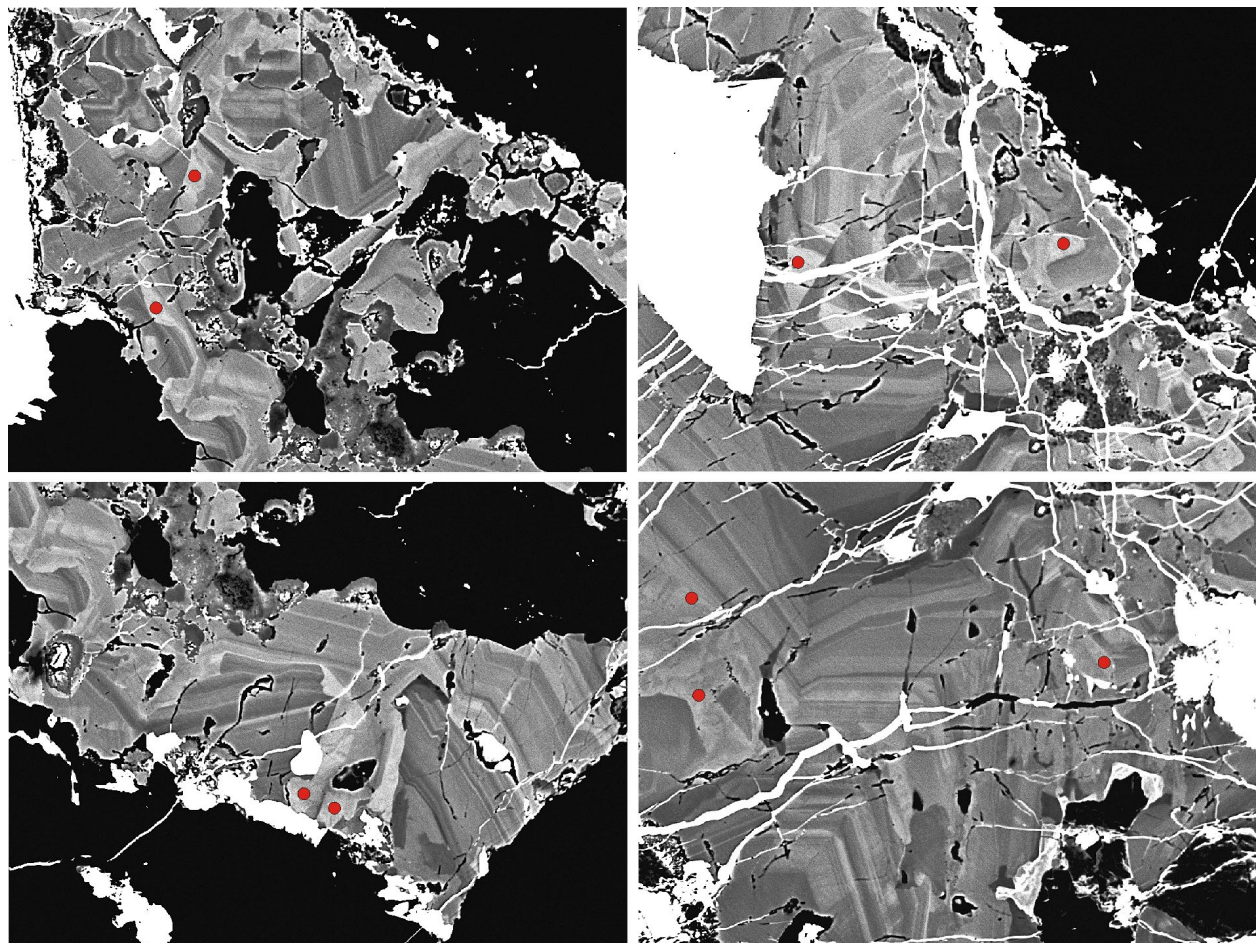
Jen zcela ojediněle byl v nábruse D103 zjištěn **Bi-bohatý tetraedrit**, který vytváří nepravidelnou zónu, cca $40 \times 70 \mu\text{m}$ velkou, v Bi-bohatém tennantitu, ve které jsou vtroušeny drobné agregáty „annivitu“ (obr. 7). V jeho chemickém složení (tab. 3) převládá Sb (1.90 - 1.95 apfu) nad Bi (1.09 - 1.10 apfu) a As (0.95 - 0.97 apfu); je Zn-dominantní a odpovídá empirickému vzorci (průměr tří analýz) $(\text{Cu}_{5.99}\text{Ag}_{0.01})_{\Sigma 6.00}(\text{Cu}_{4.05}\text{Zn}_{1.49}\text{Fe}_{0.48})_{\Sigma 6.02}(\text{Sb}_{1.92}\text{Bi}_{1.10}\text{As}_{0.96})_{\Sigma 3.98}\text{S}_{13.05}$.

Některé protáhlé i izometrické až nepravidelné zóny o velikosti do $50 \mu\text{m}$ ve studovaných agregátech Bi-bohatého tennantitu a tetraedritu (obr. 7 a 8) již odpovídají dosud nedefinovanému **Bi-dominantnímu členu** skupiny tetraedritu, v následujícím textu pro zjednodušení pou-

žíváme označení „**annivit**“ s tím, že se v současné době nejedná o platné jméno minerálu. V trigonálně pyramidální pozici X obecného vzorce „annivitu“ (obr. 4) převládá Bi s obsahy 1.57 - 1.89 apfu nad As (1.38 - 1.72) a Sb (0.25 - 0.77 apfu). V trigonální pozici A byly vedle převládající Cu (obr. 5) zjištěny pravidelné minoritní obsahy Ag v rozmezí 0.02 - 0.04 apfu. V tetraedrické C pozici vždy převládá Zn s obsahy 1.03 - 1.79 apfu (obr. 6) nad Fe (0.17 - 0.89 apfu); zjištěny byly i nepravidelné obsahy Pb nepřevyšující 0.07 apfu. Jednotlivé bodové analýzy „annivitu“ s odpovídajícími koeficienty empirických vzorců jsou podány v tabulkách 4 a 5.



Obr. 7 Nepravidelné agregáty Bi-bohatého tetraedritu (modře vyznačeny analyzované body) srůstající s „annivitem“ (červeně vyznačené analyzované body) uzavřené v zonálním Bi-bohatém tennantitu; bílý je bismit a další supergenní minerály Bi a U; Jáchymov, nábrus D103; BSE foto J. Sejkora.



Obr. 8 Výrazně zonální agregáty Bi-bohatého tennantitu se zónami tvořenými „annivitem“ (červeně vyznačené analyzované body), bílý je bismit a další supergenní minerály Bi a U; Jáchymov, nábrus D31; BSE foto J. Sejkora, šíře záběru všech obrázků je $265 \mu\text{m}$.

Bi-chudé členy skupiny tetraedritu

Vzorek **D105** (Národní muzeum P1N 26557) je představován asi 1 mm velkým agregátem, v němž v BSE zonální tetraedrit/tennantit srůstá vrstevnatě až nepravidelně s chalkopyritem (obr. 9); v chalkopyritu byly pozoro-

vány ojedinělé inkluze kasiteritu a galenitu. Analyzované členy skupiny tetraedritu jsou zcela bez obsahu Bi a podle poměru As/Sb (obr. 4) jsou zde přítomny jak **As-bohatý tetraedrit** (0.61 - 1.85 apfu As), tak i **Sb-bohatý tennantit** (1.03 - 1.14 apfu Sb). Oba členy mají jen minimální obsahy Ag do 0.13 apfu (obr. 10) a jsou Zn-dominantní

Tabulka 4 Chemické analýzy „annivitu“ z Jáchymova (nábrus D31, Národní muzeum P1N38896) v hm. % a příslušné hodnoty apfu

	1	2	3	4	5	6	7	8	9	10	11	12	13	14
Ag	0.16	0.19	0.17	0.20	0.25	0.24	0.23	0.19	0.27	0.21	0.21	0.26	0.18	0.21
Fe	1.25	2.40	0.70	1.58	2.02	2.12	2.60	2.32	2.34	2.56	2.79	2.79	0.79	2.61
Pb	0.07	0.00	0.00	0.06	0.11	0.20	0.09	0.07	0.00	0.00	0.00	0.00	0.14	0.00
Zn	5.87	4.48	6.48	5.40	4.80	4.75	4.12	4.41	4.53	4.06	3.81	3.83	6.29	4.26
Cu	36.28	36.22	36.12	35.80	35.89	36.00	36.35	36.20	36.46	35.94	36.41	36.19	35.64	37.09
Sb	5.31	5.00	5.16	4.69	5.15	5.26	4.89	5.10	5.24	4.90	3.01	2.78	2.74	1.76
Bi	18.55	19.36	19.18	19.32	19.38	19.60	19.50	20.41	20.74	20.90	21.27	21.30	21.75	22.67
As	6.63	6.85	6.50	6.85	6.55	6.43	6.56	6.10	6.16	6.06	7.31	7.22	6.87	7.27
S	24.25	23.64	24.03	23.82	24.06	24.04	24.22	24.21	24.88	23.99	24.08	24.06	24.03	25.57
total	98.37	98.14	98.34	97.72	98.21	98.64	98.56	99.01	100.62	98.62	98.89	98.43	98.43	101.44
Ag	0.026	0.031	0.028	0.033	0.041	0.039	0.038	0.031	0.044	0.035	0.034	0.043	0.030	0.034
Cu ^A	5.974	5.969	5.972	5.967	5.959	5.961	5.962	5.969	5.956	5.965	5.966	5.957	5.970	5.966
A-site	6.000	6.000	6.000	6.000	6.000	6.000	6.000	6.000	6.000	6.000	6.000	6.000	6.000	6.000
Cu ^B	4.000	4.000	4.000	4.000	4.000	4.000	4.000	4.000	4.000	4.000	4.000	4.000	4.000	4.000
Fe	0.395	0.757	0.222	0.504	0.643	0.673	0.823	0.737	0.735	0.818	0.881	0.887	0.254	0.815
Pb	0.006	0.000	0.000	0.005	0.009	0.017	0.008	0.006	0.000	0.000	0.000	0.000	0.012	0.000
Zn	1.586	1.207	1.757	1.471	1.306	1.287	1.114	1.197	1.216	1.108	1.028	1.040	1.726	1.136
Cu ^C	0.085	0.039	0.076	0.029	0.044	0.036	0.111	0.108	0.066	0.093	0.105	0.107	0.062	0.179
C-site	2.072	2.003	2.056	2.008	2.003	2.013	2.055	2.048	2.017	2.019	2.014	2.033	2.054	2.130
Sb	0.770	0.723	0.751	0.686	0.752	0.765	0.710	0.743	0.755	0.718	0.436	0.405	0.404	0.252
Bi	1.568	1.632	1.627	1.646	1.649	1.662	1.649	1.733	1.741	1.785	1.795	1.809	1.867	1.892
As	1.563	1.610	1.538	1.628	1.555	1.520	1.548	1.445	1.443	1.443	1.721	1.710	1.645	1.692
X-site	3.901	3.965	3.916	3.959	3.956	3.947	3.907	3.921	3.939	3.946	3.952	3.924	3.916	3.836
S	13.359	12.986	13.286	13.224	13.345	13.282	13.351	13.397	13.614	13.351	13.245	13.316	13.445	13.907

Koefficienty empirických vzorců počítány na bázi 16 kationtů; obsah Cu rozpočten do strukturních pozic (Cu^A, Cu^B, Cu^C) za předpokladu ideálního obsazení A pozice 6 apfu a B pozice 4 apfu.

Tabulka 5 Chemické analýzy „annivitu“ z Jáchymova (nábrus D103, Národní muzeum P1N38896) v hm. % a příslušné hodnoty apfu

	1	2	3	4	5	6	7	8	9
Ag	0.11	0.11	0.14	0.16	0.18	0.18	0.22	0.16	0.18
Fe	0.66	0.59	0.71	0.61	0.65	2.40	0.73	0.54	0.51
Pb	0.46	0.30	0.18	0.27	0.25	0.10	0.83	0.38	0.61
Zn	6.46	6.58	6.78	6.42	6.48	4.84	6.33	6.47	6.43
Cu	35.68	36.06	37.37	35.60	35.63	37.63	35.13	35.27	35.03
Sb	5.20	4.58	4.26	4.45	4.55	2.33	4.09	4.35	4.56
Bi	19.42	19.88	20.70	20.40	20.36	20.61	21.54	21.76	21.66
As	6.44	6.83	6.84	6.55	6.46	7.36	6.10	5.94	5.71
S	23.86	23.96	25.16	23.61	23.85	25.27	23.60	23.56	23.49
total	98.29	98.89	102.14	98.07	98.41	100.72	98.57	98.43	98.18
Ag	0.018	0.018	0.022	0.027	0.030	0.029	0.037	0.027	0.030
Cu ^A	5.982	5.982	5.978	5.973	5.970	5.971	5.963	5.973	5.970
A-site	6.000	6.000	6.000	6.000	6.000	6.000	6.000	6.000	6.000
Cu ^B	4.000	4.000	4.000	4.000	4.000	4.000	4.000	4.000	4.000
Fe	0.211	0.187	0.218	0.196	0.208	0.741	0.236	0.175	0.166
Pb	0.040	0.026	0.015	0.023	0.022	0.008	0.072	0.033	0.053
Zn	1.763	1.779	1.781	1.758	1.771	1.277	1.747	1.787	1.787
Cu ^C	0.016	0.032	0.096	0.029	0.020	0.217	0.000	0.022	0.015
C-site	2.029	2.024	2.109	2.006	2.021	2.244	2.055	2.016	2.022
Sb	0.762	0.665	0.601	0.654	0.668	0.330	0.606	0.645	0.680
Bi	1.658	1.682	1.700	1.748	1.741	1.702	1.860	1.880	1.883
As	1.533	1.612	1.567	1.565	1.541	1.695	1.469	1.432	1.385
X-site	3.953	3.958	3.868	3.967	3.950	3.727	3.934	3.957	3.948
S	13.274	13.210	13.471	13.182	13.292	13.598	13.279	13.267	13.310

Koefficienty empirických vzorců počítány na bázi 16 kationtů; obsah Cu rozpočten do strukturních pozic (Cu^A, Cu^B, Cu^C) za předpokladu ideálního obsazení A pozice 6 apfu a B pozice 4 apfu.

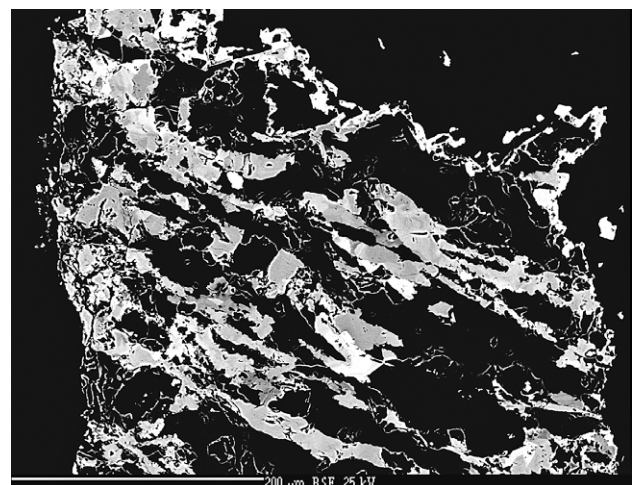
s 1.45 - 1.49 apfu Zn (obr. 11). Jednotlivé bodové chemické analýzy s odpovídajícími koeficienty empirických vzorců jsou uvedeny v tabulce 6.

Vzorek D106 (Národní muzeum P1N 4854); vzorek tetraedritu byl ve sbírce Národního muzea původně označen jako *falkenhayinit*, který popsal z Jáchymova jako nový minerální druh Scharizer (1890). Falkenhaynit je dnes neplatné synonymum tetraedritu; analýza zveřejněná Scharizerem (1890) odpovídá As-bohatému tetraedritu. Analyzovaný vzorek se v BSE jeví jako masivní agregát bez známek zřetelné zonality a je tvořen Fe-dominantním (obr. 11) **As-bohatým tetraedritem** (0.93 - 1.12 apfu As) s minoritním obsahem Ag a jen nepatrným obsahem Bi nepřevyšujícím 0.01 apfu (tab. 6). Z průměru šesti analýz byl vypočten empirický vzorec $(Cu_{5.90}Ag_{0.10})_{\Sigma 6.00}[Cu_{4.00}(Fe_{1.38}Zn_{0.44}Cu_{0.21})_{\Sigma 2.03}\Sigma 6.03](Sb_{2.92}As_{1.04})_{\Sigma 3.96}S_{13.16}$.

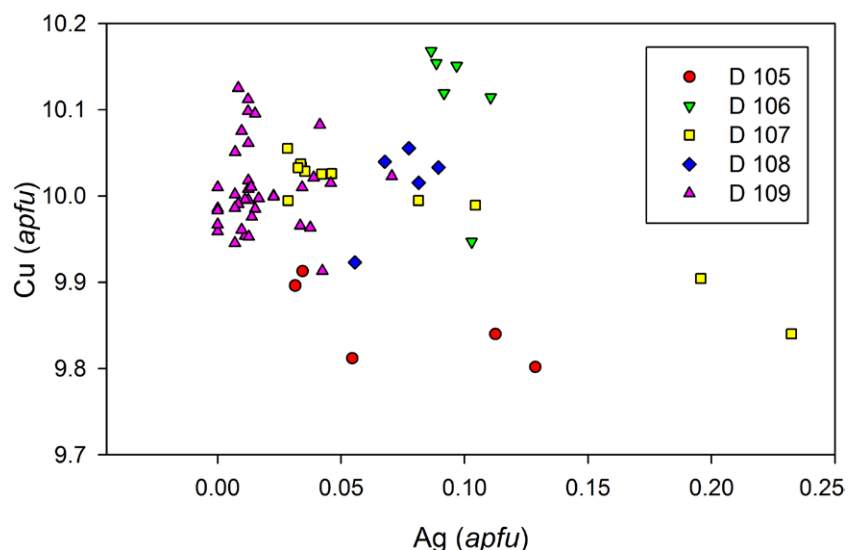
Vzorek D107 (Národní muzeum P1N 86945) je podle BSE obrazu masivní, mírně zonální agregát s tenkým, výrazně světlejším lemem. Kromě toho je hlavní agregát proniknutý velmi tenkou, v BSE rovněž výrazně světlejší žilkou (obr. 12). Jak hlavní agregát, tak jeho lem a žilka uvnitř hlavní masy vykazují mírně odlišné složení, proto jsou charakterizovány samostatně. Převažující agregát je tvořen relativně Sb-chudým (do 0.52 apfu) **tenantitem** (obr. 4, 11) s minoritními obsahy Bi nepřevyšujícími 0.10 apfu. Tenký lem (v BSE světlejší) je představován As-bohatším **tetraedritem** (0.71 - 0.98 apfu As) bez obsahu Bi a minoritními obsahy Ag do 0.23 apfu (obr. 10). Tenká nepravidelná žilka (v BSE světlejší) pronikající hlavní agregát tenantitu je tvořena Sb-bohatším **tenantitem** (1.30 - 1.86 apfu Sb) bez obsahu Bi a zjištěnými obsahy Ag do 0.10 apfu. Všechny tři studované typy jsou zřetelně Fe-dominantní (obr. 11). Jednotlivé bodové chemické analýzy s odpovídajícími koeficienty empirických vzorců jsou uvedeny v tabulce 7.

Vzorek D108 (Národní muzeum P1N 69226) je v BSE obrazu relativně homogenní a podle výsledků chemických analýz je tvořen **As-bohatým tetraedritem** (1.43 - 1.79 apfu As) až **Sb-bohatým tenantitem** (1.55 apfu Sb) s nepravidelnými obsahy Bi nepřevyšujícími 0.01 apfu. Je vždy Zn-dominantní (1.37 - 1.58 apfu Zn) s minoritními obsahy Hg (do 0.06 apfu) a Ag (do 0.09 apfu). Jednotlivé bodové chemické analýzy s odpovídajícími koeficienty empirických vzorců jsou uvedeny v tabulce 8.

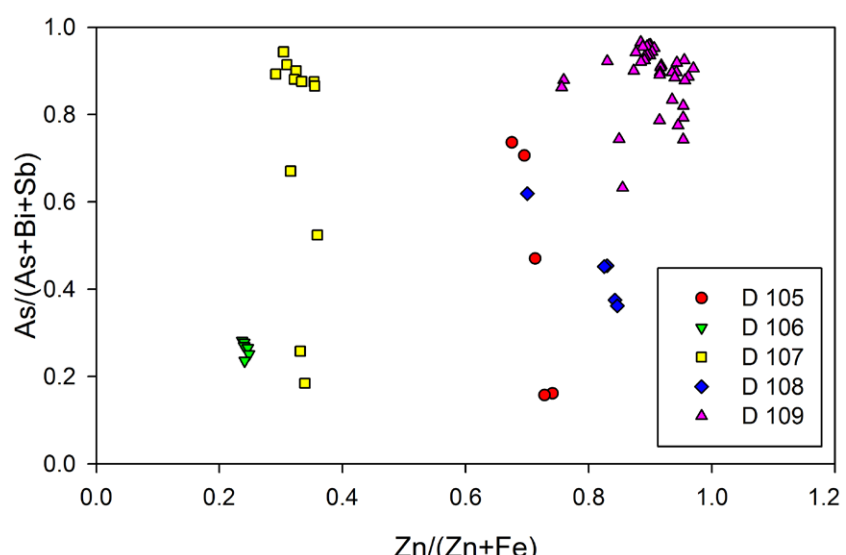
Vzorek D109 (Národní muzeum P1N 69287) je představován podle BSE jen mírně a nepravidelně zonálním agregátem, lokálně s hojnými inkluzem galenitu a ryzího Bi o velikostech 1 - 15 µm. Podle výsledků chemických analýz (tab. 9) je tvořen **tenantitem** s obsahy Sb v rozmezí 0.14 - 1.45 apfu (obr. 4 a 11); lokál-



Obr. 9 BSE obraz analyzovaného vzorku D105 z Jáchymova; šedé zóny odpovídají tetraedritu, černé chalkopyritu. BSE foto Z. Dolníček.



Obr. 10 Graf obsahů Ag a Cu (apfu) v minerálech skupiny tetraedritu z dalších studovaných vzorků z Jáchymova.



Obr. 11 Graf obsahů poměru Zn/(Zn+Fe) vs. As/(As+Bi+Sb) (apfu) v minerálech skupiny tetraedritu z dalších studovaných vzorků z Jáchymova.

Tabulka 6 Chemické analýzy minerálů skupiny tetraedritu z Jáchymova (nábrusy D105 a D106) v hm. % a příslušné hodnoty apfu

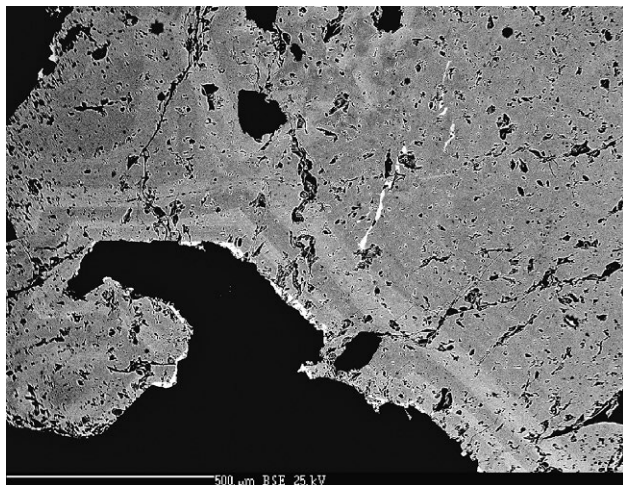
	D105						D106				
	tenantit			tetraedrit					tetraedrit		
Ag	0.23	0.25	0.38	0.76	0.88	0.61	0.59	0.62	0.75	0.66	0.70
Fe	2.59	2.48	2.29	1.93	2.10	4.87	4.75	4.76	4.76	4.74	5.35
Pb	0.11	0.08	0.06	0.13	0.06	0.08	0.07	0.00	0.00	0.00	0.00
Zn	6.29	6.63	6.67	6.46	6.59	1.77	1.76	1.76	1.82	1.83	1.99
Cu	41.87	42.48	40.56	39.17	39.49	41.23	40.89	40.32	40.42	40.79	39.88
Sb	8.39	9.37	16.48	25.00	25.25	22.15	22.09	22.24	22.31	22.81	23.17
Bi	0.00	0.00	0.00	0.00	0.00	0.00	0.06	0.07	0.11	0.11	0.00
As	14.41	13.86	9.01	2.96	2.90	5.34	5.21	5.08	4.97	4.72	4.41
S	27.93	28.26	26.71	25.99	26.08	26.85	27.04	26.48	26.51	26.58	26.54
total	101.80	103.41	102.17	102.40	103.35	102.90	102.46	101.33	101.65	102.24	102.04
Ag	0.031	0.034	0.054	0.112	0.129	0.089	0.086	0.092	0.111	0.097	0.103
Cu ^A	5.969	5.966	5.946	5.888	5.871	5.911	5.914	5.908	5.889	5.903	5.897
A-site	6.000	6.000	6.000	6.000	6.000	6.000	6.000	6.000	6.000	6.000	6.000
Cu ^B	4.000	4.000	4.000	4.000	4.000	4.000	4.000	4.000	4.000	4.000	4.000
Fe	0.696	0.659	0.631	0.552	0.593	1.365	1.344	1.359	1.355	1.342	1.518
Pb	0.008	0.006	0.004	0.010	0.005	0.006	0.005	0.000	0.000	0.000	0.000
Zn	1.446	1.504	1.569	1.578	1.590	0.424	0.425	0.429	0.443	0.443	0.483
Cu ^C	0.000	0.000	0.000	0.000	0.000	0.243	0.255	0.211	0.225	0.248	0.050
C-site	2.149	2.168	2.205	2.139	2.188	2.037	2.029	2.000	2.023	2.033	2.051
Sb	1.035	1.141	2.081	3.278	3.271	2.847	2.867	2.913	2.914	2.963	3.016
As	2.888	2.743	1.848	0.631	0.611	1.115	1.099	1.081	1.055	0.996	0.933
Bi	0.000	0.000	0.000	0.000	0.000	0.000	0.005	0.005	0.008	0.008	0.000
X-site	3.923	3.884	3.929	3.909	3.882	3.963	3.971	4.000	3.977	3.967	3.949
S	13.084	13.070	12.807	12.939	12.829	13.105	13.326	13.171	13.147	13.109	13.119

Koefficienty empirických vzorců počítány na bázi 16 kationtů; obsah Cu rozpočten do strukturních pozic (Cu^A, Cu^B, Cu^C) za předpokladu ideálního obsazení A pozice 6 apfu a B pozice 4 apfu.

Tabulka 7 Chemické analýzy minerálů skupiny tetraedritu z Jáchymova (nábrus D107, Národní muzeum P1N 86945) v hm. % a příslušné hodnoty apfu

	hlavní agregát								žilka		lem	
	1	2	3	4	5	6	7	8	1	2	1	2
Ag	0.21	0.25	0.21	0.25	0.26	0.34	0.24	0.31	0.58	0.74	1.33	1.58
Fe	5.21	5.31	5.15	5.00	5.10	4.82	5.08	4.86	5.01	4.68	4.89	4.85
Pb	0.08	0.00	0.09	0.09	0.00	0.00	0.00	0.00	0.07	0.00	0.00	0.08
In	0.05	0.05	0.00	0.00	0.00	0.00	0.00	0.00	0.00	0.00	0.00	0.00
Co	0.00	0.00	0.05	0.00	0.00	0.00	0.00	0.00	0.00	0.00	0.00	0.00
Zn	2.67	2.56	2.70	2.81	2.83	3.09	2.98	3.13	2.70	3.07	2.84	2.91
Cu	43.29	43.36	43.52	43.09	43.43	43.48	43.56	43.49	41.87	41.74	39.66	39.42
Sb	1.87	2.61	2.80	3.23	3.20	3.81	3.97	4.29	10.40	14.92	21.76	24.01
Bi	0.00	1.54	0.00	0.06	1.24	0.52	0.16	0.24	0.00	0.00	0.00	0.00
As	19.26	17.98	18.37	18.04	17.81	17.77	17.65	17.51	13.01	10.12	4.65	3.35
S	29.18	29.21	29.18	29.12	29.47	29.26	29.21	29.28	28.24	27.99	27.54	26.86
total	101.82	102.87	102.07	101.68	103.34	103.09	102.85	103.11	101.88	103.26	102.67	103.06
Ag	0.029	0.034	0.028	0.034	0.035	0.046	0.033	0.042	0.081	0.104	0.196	0.232
Cu ^A	5.971	5.966	5.972	5.966	5.965	5.954	5.967	5.958	5.919	5.896	5.804	5.768
A-site	6.000	6.000	6.000	6.000	6.000	6.000	6.000	6.000	6.000	6.000	6.000	6.000
Cu ^B	4.000	4.000	4.000	4.000	4.000	4.000	4.000	4.000	4.000	4.000	4.000	4.000
Fe	1.369	1.398	1.353	1.325	1.340	1.265	1.331	1.275	1.360	1.274	1.390	1.378
Pb	0.006	0.000	0.006	0.006	0.000	0.000	0.000	0.000	0.005	0.000	0.000	0.006
In	0.006	0.006	0.000	0.000	0.000	0.000	0.000	0.000	0.000	0.000	0.000	0.000
Co	0.000	0.000	0.011	0.000	0.000	0.000	0.000	0.000	0.000	0.000	0.000	0.000
Zn	0.599	0.576	0.607	0.637	0.635	0.693	0.667	0.701	0.628	0.714	0.689	0.706
Cu ^C	0.023	0.067	0.083	0.071	0.064	0.072	0.065	0.067	0.076	0.094	0.100	0.073
C-site	2.003	2.048	2.061	2.038	2.039	2.030	2.064	2.043	2.069	2.082	2.179	2.162
Sb	0.225	0.315	0.338	0.393	0.386	0.459	0.477	0.516	1.296	1.864	2.836	3.128
Bi	0.000	0.108	0.000	0.004	0.087	0.036	0.011	0.017	0.000	0.000	0.000	0.000
As	3.772	3.529	3.601	3.564	3.488	3.475	3.448	3.424	2.635	2.054	0.985	0.709
X-site	3.997	3.952	3.939	3.962	3.961	3.970	3.936	3.957	3.931	3.918	3.821	3.838
S	13.352	13.395	13.359	13.441	13.486	13.372	13.333	13.377	13.363	13.276	13.630	13.288

Koefficienty empirických vzorců počítány na bázi 16 kationtů; obsah Cu rozpočten do strukturních pozic (Cu^A, Cu^B, Cu^C) za předpokladu ideálního obsazení A pozice 6 apfu a B pozice 4 apfu.



Obr. 12 Převažující mírně zonální Sb-chudý tennantit je lemován bílým tetraedritem, bílá žilka pronikající šedou masou je Sb-bohatší tennantit; Jáchymov - důl Bratrství, vzorek D107; BSE foto Z. Dolníček.

Koefficienty empirických vzorců počítány na bázi 16 kationtů; obsah Cu rozpočten do strukturních pozic (Cu^A , Cu^B , Cu^C) za předpokladu ideálního obsazení A pozice 6 apfu a B pozice 4 apfu.

Tabulka 8 Chemické analýzy minerálů skupiny tetraedritu z Jáchymova (nábrus D108 Národní muzeum P1N 69226) v hm. % a příslušné hodnoty apfu

	1	2	3	4	5
Ag	0.40	0.54	0.47	0.56	0.61
Fe	2.17	1.14	1.17	1.05	1.01
Pb	0.00	0.00	0.09	0.00	0.00
Zn	5.93	6.51	6.47	6.59	6.53
Hg	0.00	0.72	0.76	0.59	0.65
Cu	41.65	41.30	41.08	40.59	40.31
Sb	12.44	17.00	17.04	19.27	19.38
Bi	0.00	0.00	0.00	0.10	0.12
As	12.43	8.69	8.64	7.13	6.79
S	27.61	27.28	27.05	26.89	26.57
total	102.63	103.18	102.77	102.77	101.97
Ag	0.056	0.077	0.068	0.081	0.089
Cu^A	5.944	5.923	5.932	5.919	5.911
A-site	6.000	6.000	6.000	6.000	6.000
Cu^B	4.000	4.000	4.000	4.000	4.000
Fe	0.588	0.316	0.325	0.295	0.286
Pb	0.000	0.000	0.007	0.000	0.000
Zn	1.373	1.541	1.537	1.581	1.580
Hg	0.000	0.056	0.059	0.046	0.051
Cu^C	0.000	0.133	0.107	0.097	0.123
C-site	1.961	2.045	2.035	2.019	2.040
Sb	1.547	2.160	2.174	2.482	2.518
Bi	0.000	0.000	0.000	0.008	0.009
As	2.513	1.795	1.791	1.492	1.433
X-site	4.060	3.955	3.965	3.981	3.960
S	13.037	13.163	13.102	13.150	13.106

Tabulka 9 Reprezentativní chemické analýzy minerálů skupiny tetraedritu z Jáchymova (nábrus D109, Národní muzeum P1N 69287) v hm. % a příslušné hodnoty apfu

	1	2	3	4	5	6	7	8	9	10	11	12	13	14
Ag	0.32	0.29	0.16	0.49	0.27	0.28	0.00	0.09	0.11	0.09	0.08	0.08	0.11	0.09
Fe	1.02	0.32	0.61	0.45	0.32	0.22	0.47	1.18	0.82	0.77	0.32	0.72	0.77	0.81
Pb	0.41	0.23	0.38	0.17	0.22	0.20	0.28	1.49	0.73	0.72	0.21	0.73	0.80	0.61
Cd	0.11	0.08	0.00	0.11	0.00	0.06	0.18	0.17	0.44	0.44	0.10	0.28	0.32	0.23
In	0.00	0.05	0.00	0.00	0.00	0.00	0.00	0.05	0.00	0.00	0.06	0.00	0.00	0.00
Co	0.00	0.00	0.05	0.00	0.00	0.00	0.00	0.00	0.00	0.00	0.00	0.00	0.00	0.00
Zn	7.03	7.70	7.68	7.66	8.13	8.32	7.94	6.76	7.37	7.35	8.00	7.53	7.13	7.26
Cu	41.24	39.97	41.54	41.04	42.22	42.51	42.44	41.97	42.54	42.64	42.58	42.41	43.09	43.15
Sb	11.47	3.78	6.41	2.48	3.99	3.03	3.43	2.53	2.59	2.47	2.50	2.13	1.46	1.13
Bi	0.00	7.38	0.56	4.55	0.00	0.00	0.00	0.00	0.00	0.00	0.00	0.00	0.00	0.00
As	12.13	14.34	15.31	15.84	17.69	17.90	18.29	18.43	18.44	18.61	18.78	18.96	19.03	19.49
S	27.38	26.43	27.45	27.06	27.88	28.27	27.92	27.59	27.76	28.06	28.15	27.93	27.95	28.11
total	101.11	100.57	100.15	99.85	100.72	100.79	100.95	100.26	100.80	101.15	100.78	100.77	100.66	100.88
Ag	0.046	0.042	0.023	0.070	0.038	0.039	0.000	0.013	0.015	0.012	0.011	0.011	0.015	0.012
Cu^A	5.954	5.958	5.977	5.930	5.962	5.961	6.000	5.987	5.985	5.988	5.989	5.989	5.985	5.988
A-site	6.000	6.000	6.000	6.000	6.000	6.000	6.000	6.000	6.000	6.000	6.000	6.000	6.000	6.000
Cu^B	4.000	4.000	4.000	4.000	4.000	4.000	4.000	4.000	4.000	4.000	4.000	4.000	4.000	4.000
Fe	0.282	0.090	0.167	0.125	0.086	0.059	0.125	0.318	0.219	0.205	0.085	0.192	0.205	0.215
Pb	0.031	0.017	0.028	0.013	0.016	0.014	0.020	0.108	0.053	0.052	0.015	0.053	0.057	0.044
Cd	0.015	0.011	0.000	0.015	0.000	0.008	0.024	0.023	0.058	0.058	0.013	0.037	0.042	0.030
In	0.000	0.007	0.000	0.000	0.000	0.000	0.000	0.007	0.000	0.000	0.008	0.000	0.000	0.000
Co	0.000	0.000	0.012	0.000	0.000	0.000	0.000	0.000	0.000	0.000	0.000	0.000	0.000	0.000
Zn	1.660	1.856	1.797	1.819	1.865	1.907	1.811	1.558	1.682	1.675	1.826	1.718	1.624	1.646
Cu^C	0.061	0.000	0.023	0.093	0.001	0.060	0.000	0.000	0.000	0.008	0.007	0.000	0.111	0.074
C-site	2.048	1.982	2.027	2.065	1.968	2.048	1.981	2.014	2.012	1.998	1.954	2.000	2.040	2.008
Sb	1.454	0.489	0.805	0.316	0.491	0.373	0.420	0.313	0.317	0.302	0.306	0.261	0.179	0.138
Bi	0.000	0.557	0.041	0.338	0.000	0.000	0.000	0.000	0.000	0.000	0.000	0.000	0.000	0.000
As	2.498	3.016	3.126	3.281	3.541	3.579	3.640	3.707	3.671	3.700	3.739	3.774	3.782	3.854
X-site	3.952	4.062	3.973	3.935	4.032	3.952	4.060	4.020	3.988	4.002	4.046	4.035	3.960	3.992
S	13.177	12.991	13.097	13.097	13.039	13.208	12.984	12.967	12.913	13.036	13.097	12.991	12.978	12.990

Koefficienty empirických vzorců počítány na bázi 16 kationtů; obsah Cu rozpočten do strukturních pozic (Cu^A , Cu^B , Cu^C) za předpokladu ideálního obsazení A pozice 6 apfu a B pozice 4 apfu.

ně zjištěné zvýšené obsahy Bi (0.34 a 0.56 apfu ve dvou bodových analýzách) mohou být způsobeny ovlivněním analýzy inkluzem minerálů Bi pod analyzovanou rovinou vzorku. V trigonální pozici A byly vedle převládající Cu (obr. 10) zjištěny jen minoritní obsahy Ag neprevyšující 0.07 apfu. V tetraedrické C pozici (obr. 11) je vždy dominantní Zn (1.44 - 1.91 apfu), vedle Fe zde ale byly zjištěny i pravidelné minoritní obsahy Pb (do 0.11 apfu) a Cd (do 0.06 apfu) a ojediněle i In a Co do 0.01 apfu.

Závěr

Šest studovaných vzorků minerálů ze skupiny tetraedritu z jáchymovského rudního revíru se vyznačuje zejména výrazně proměnlivým zastoupením As, Sb a Bi v trigonálně pyramidální pozici krytalové struktury. Nejzajímavější je vzorek z dolu Eliáš v žilném uzlu Rovnost (Národní muzeum P1N 38896), kde vedle převládajícího Bi-bohatého tenantitu a ojedinělého Bi-bohatého tetraedritu byly zjištěny i Bi-dominantní zóny odpovídající dosud nedefinovanému novému členu skupiny tetraedritu. Minimální rozměry zjištěných zón/agregátů (do 50 µm) a zejména komplikované srůsty s Bi-bohatým tenantitem (a lokálně i tetraedritem) neumožňují pro tuto novou minerální fází získat nezbytná strukturní data.

Poděkování

Milou povinností autorů je poděkovat za spolupráci při laboratorním výzkumu Zdeňku Dolníčkovi z Národního muzea v Praze. Práce na článku byla finančně podpořena Ministerstvem kultury ČR v rámci institucionálního financování výzkumné organizace Národní muzeum (00023272 - cíl DKRVO 2018/01).

Literatura

- BORTNIKOV NS, KUDRYAVTSEV AS, TRONEVA NV (1986) Bismuth-containing tetrahedrite-tenantite ores from Tary-Ekan deposit (East Karamazar, Central Asia). Mineral Žurn 8(3): 61-64 (rusky)
- BRESKOVSKA V, TARKIAN M (1994) Compositional variations in Bi-bearing fahlores. N Jb Mineral, Mh 1994: 230-240
- FELLENBERG von LR (1854) Über ein eigenthümliches Fahlerz aus dem Einfischthale im Kanton Wallis. Mitt Natur Gesell Bern 317-318: 57-59.
- FÖRSTER H-J, HUNGER H-J, GRIMM L (1986) Elektronenstrahlmikroanalytische Untersuchungen von Erzmineralen aus Zinn-Lagerstatte Altenberg (Erzgebirge, DDR). Mitteilung: Fahlerze - Chemismus und Nomenklatur. Chem Erde 47: 111-115
- GOŁĘBIAWSKA B, PIECZKA A, PARAFINIUK J (2012) Substitution of Bi for Sb and As in minerals of the tetrahedrite series from Rędziny, Lower Silesia, Southwestern Poland. Can Mineral 50: 267-279
- JANSA J, NOVÁK F (1990) Mineralogický rozbor vzorků z Cínovce. MS Geofond Praha, GF P 111596, 16 pp.
- KIEFT K, ERIKSSON G (1984) Regional zoning and metamorphic evolution of the Vindfall Pb-Zn ore, east central Sweden. Geol Fören Stockholm Förh 106: 305-317
- KLÜNDER MH, KARUP-MØLLER S, MAKOVICKY E (2003) Exploratory studies on substitutions in the tetrahedrite-tenantite solid solution series. III. The solubility of bismuth in tetrahedrite-tenantite containing iron and zinc. N Jb Mineral, Mh 153-175
- MAKOVICKY E (2006) Crystal structures of sulfides and other chalcogenides. In: Sulfide Mineralogy and Geochemistry, Reviews in Mineralogy (ed. Vaughan DJ): 7-107. Mineralogical Society of America, Chantilly, USA
- MOĚLO Y, MAKOVICKY E, MOZGOVA N N, JAMBOR J L, COOK N, PRING A, PAAR W, NICKEL E H, GRAESER S, KARUP-MØLLER S, BALIČ-ŽUNIĆ T, MUMME W G, VURRO F, TOPA D, BINDI L, BENTE K, SHIMIZU M (2008) Sulfosalt Systematics: A Review Report of the Sulfosalt Sub-Committee of the IMA Commission on Ore Mineralogy. Eur J Mineral 20(1), 7-46
- OEN IS, KIEFT C (1976) Bismuth-rich tenantite and tetrahedrite in the Mangualde pegmatite, Viseu district, Portugal. N Jb Mineral, Mh 1976: 94-96.
- ONDŘUŠ P, VESELOVSKÝ F, GABAŠOVÁ A, HLOUŠEK J, ŠREIN V, VAVŘÍN I, SKÁLA R, SEJKORA J, DRÁBEK M (2003) Primary minerals of the Jáchymov ore district. J Czech Geol Soc 48(3-4): 19-147
- PATTRICK RAD (1978) Microprobe analysis of cadmium-rich tetrahedrites from Tyndrum, Perthshire, Scotland. Mineral Mag 42: 286-288
- POUCHOU J L, PICHOIR F (1985) "PAP" ($\phi\phi\bar{Z}$) procedure for improved quantitative microanalysis. In: Microbeam Analysis (JT Armstrong, ed.). San Francisco Press, San Francisco: 104-106
- SERGEYEVA NE, SHATAGIN NN (1980) On the bismuth mineralization of the Yubileino - Shegirikhinskii deposit (Rudnyi Altai). Dokl Akad Nauk SSSR 252: 956-962 (rusky)
- SCHARIZER R (1890) Falkenhaynit, ein neues Mineral aus der Wittichenitgruppe. Jb Geol Bundesanst 40: 433-436
- SPIRIDONOV EM, CHVILEVA TN, BORODAEV YS, VINOGRADOVA RA, KONONOV OV (1986) The influence of bismuth on optical properties of fahlores. Dokl Akad Nauk SSSR 290: 1475-1478 (rusky)
- STAUDE S, MORDHORST T, NEUMANN R, PREBECK W, MARKL G (2010) Compositional variation of the tenantite-tetrahedrite solid-solution series in the Schwarzwald ore district (SW Germany): the role of mineralization processes and fluid source. Mineral Mag 74: 309-339
- VAVELIDIS M, MELFOS V (1997) Two plumbian tetrahedrite-tenantite occurrences from Maronia area (Thrace) and Milos island (Aegean sea), Greece. Eur J Mineral 9: 653-658
- VELEBIL D, MACEK I, SOUMAR J (2016) Příspěvek k poznání chemismu tetraedritů z českých lokalit: Příbram, Obecnice, Zvěstov, Mníšek pod Brdy, Ratibořské Hory, Stará Vožice, Jáchymov, Kutná Hora a Stříbrná Skalice. Bull mineral-petrolog Odd Nár Muz (Praha) 24(1), 132-143
- VINOGRADOVA RA, KONONOV OV, BORODAYEV YS, BOCHEK LI, DVORTSOVA SP (1985) Bismuth-bearing fahlores of the Tyrnyauz. Zap Vses Mineral Obshchest 140: 340-344 (rusky)
- VOUDOURIS PC, SPRY PG, SAKELLARIS GA, MAVROGONATOS C (2011) A cervelleite-like mineral and other Ag-Cu-Te-S minerals $[Ag_2CuTeS]$ and $(Ag,Cu)_2TeS$ in gold-bearing veins in metamorphic rocks of the Cycladic Blueschist Unit, Kallianou, Evia Island, Greece. Mineral Petrol 101: 169-183